

6 Bi₂O₃ · GeO₂ 조성 용액의 결정화

김호건 · 김명섭

한양대학교 화학과

(1989년 4월 10일 접수)

Crystallization from The Melt of 6 Bi₂O₃ · GeO₂ Composition

Ho-Kun Kim and Myoung-Seab Kim

Dept. of Chemistry, Hanyang University

(Received April 10, 1989)

요약

6 Bi₂O₃ · GeO₂ 조성은 합치용융조성(congruent melting composition)이며, 930°C의 용점은 가지고, 용점 이하의 온도에서는 실온까지 γ-6 Bi₂O₃ · GeO₂ 결정이 안정한 상이다. 그러나 완전히 녹은 이 조성의 용액을 1-150°C/min의 냉각 속도로, 기계적 충격이나, 불순물의 첨가 없이 그대로 냉각시키면, 냉각 속도에 관계없이 준안정상인 δ-6 Bi₂O₃ · GeO₂ 결정이 생성되었다. 준안정한 결정이 생성되는 것은, 이 결정이 보다 개방적이고 결합이 많은 구조를 가지기 때문에 결정의 핵 형성 에너지 장벽이 γ-6 Bi₂O₃ · GeO₂ 결정의 경우보다 낮기 때문인 것으로 추정되었다.

용액 중에 불순물 또는 γ-6 Bi₂O₃ · GeO₂ 결정이 존재할 경우에는 위의 냉각 속도에서 언제나 안정상인 γ-6 Bi₂O₃ · GeO₂ 결정이 생성되었다. 이것은 불순물 또는 γ-6 Bi₂O₃ · GeO₂ 결정이 seed 결정으로 작용하여, γ-6 Bi₂O₃ · GeO₂ 결정의 핵 형성 에너지 장벽이 낮아졌기 때문인 것으로 추정되었다.

ABSTRACT

According to the phase diagram, 6 Bi₂O₃ · GeO₂ composition melts congruently at 930°C and forms a stable γ-6 Bi₂O₃ · GeO₂ crystal phase below the melting point. But when the melt of this composition was cooled at a rate 1-150°C/min without tapping by a glass rod or impurity addition, a metastable δ-6 Bi₂O₃ · GeO₂ crystal phase was formed. It is due to that as the nucleation energy barrier of δ-6 Bi₂O₃ · GeO₂ crystals, which have more open and defective structure, is lower than that of γ-6 Bi₂O₃ · GeO₂ crystals.

When impurities or γ-6 Bi₂O₃ · GeO₂ crystals existed in the melt, stable γ-6 Bi₂O₃ · GeO₂ crystal phase was formed at various cooling rate. It is because of that the impurities or the γ-6 Bi₂O₃ · GeO₂ crystals role as a seed crystal and as a result the nucleation energy barrier of γ-6 Bi₂O₃ · GeO₂ crystals is lowered.

1. 서 론

γ-6 Bi₂O₃ · GeO₂ 결정은 공간군 I 23¹⁾에 속하는 물질

로서 비교적 높은 전기 광학효과, 광전도성, 선광성²⁻⁵⁾등을 나타내기 때문에 광전소자⁶⁾, 광공간변조소자⁷⁾등의 광기능 소자로 이용할 수 있다. 또한 압전성⁸⁾을 가지며, 전

기기계결합계수가 크므로 표면탄성파소자⁹⁾로서도 이용될 가능성이 있다. 따라서, γ -6 Bi₂O₃ · GeO₂ 결정을 작성하기 위한 여러가지 방법이 연구되고 있고^{8,10-13)}, 특히, 단결정을 Czochralski 법에 의해 용액으로부터 육성시키는 연구가 활발히 진행되고 있다. 그러나, 이 결정을 용액으로부터 육성시킬 경우의 구체적인 결정화 과정에 대한 연구는 아직 이루어지지 않고 있다.

Levin 등¹⁴⁾에 의해 작성된 Bi₂O₃ · GeO₂계의 상평형도에 의하면 Bi₂O₃와 GeO₂가 6 : 1 몰비, 즉 6 Bi₂O₃ · GeO₂ 조성은 930°C의 용접을 가지는 합치용융조성(congruent melting composition)이라는 것을 알 수 있고, 또한 이 조성의 결정상은 γ -형이 실온까지 안정하기 때문에, 6 Bi₂O₃ · GeO₂ 조성의 용액을 냉각시키면, γ -6 Bi₂O₃ · GeO₂ 결정이 생성될 것이 예상된다. 그러나 γ -6 Bi₂O₃ · GeO₂ 결정과 비슷한 결정 구조와 특성을 가지는 γ -6 Bi₂O₃ · SiO₂ 결정을 육성시키는 연구 보고에 의하면^{15,16)}, 6 Bi₂O₃ · SiO₂ 조성의 용액을 그대로 냉각시켰을 때, 안정상인 γ -6 Bi₂O₃ · SiO₂ 결정이 생성되지 않고, 준안정상인 δ -6 Bi₂O₃ · SiO₂ 결정이 생성된다는 것이 알려져 있다. 따라서, 6 Bi₂O₃ · GeO₂ 조성의 경우에도 용액을 그대로 냉각시켰을 때, 6 Bi₂O₃ · SiO₂ 조성의 경우와 비슷한 결정화 현상이 일어날 가능성이 있다.

본 연구에서는 6 Bi₂O₃ · GeO₂ 조성의 용액을 여러가지 조건으로 냉각시켰을 때 생성되는 결정상의 종류를 확인하고, 각 결정상의 생성 조건 및 결정 구조에 대하여 고찰하였다. 본 연구의 결과는 각종 가능 소자로서 유용한 γ -6 Bi₂O₃ · GeO₂ 결정을 용액으로부터 육성시키는 연구의 기초적 자료로서 활용될 것이 기대된다.

2. 실험 방법

2. 1. 6 Bi₂O₃ · GeO₂ 조성 용액의 냉각 실험

2.1.1. 균일하게 녹은 용액의 냉각

시약 순도가 99.9% 이상인 Bi₂O₃와 GeO₂를 6 : 1 몰비로 각각 침량하여 6 Bi₂O₃ · GeO₂ 조성의 batch 30 g을 만들었다. 이것을 적경 20 cm인 자기제 유발에 넣고, acetone을 첨가하면서 약 1시간 동안 잘 혼합하였다. 혼합 후 가열망태기 중에서 2시간 이상 전조시킨 다음 용량이 30 ml인 백금도가니(구경 3.5 cm, 밑면의 적경 1.8 cm, 높이 4 cm)에 넣고 백금 뚜껑을 한 뒤, 이 백금도가니를 온도 구배가 거의 없는 Muffle 전기로 중에서,

1000°C에서 1시간 가열하여, 도가니안의 물질을 전부 용융시켰다. 이 용액을 냉각 속도 1~150°C/min으로 실온까지 냉각시켰다. 또한, 이 용액을 전기로 밖으로 끌어내어 용액의 온도가 약 900°C가 되었을 때, 도가니의 외부를 유리봉으로 가볍게 여러 차례 두드리거나, 또는 용액 속에 평균입경이 149 μm인 mulite 재질의 내화 벽돌 가루를 불순물로 첨가하여 실온까지 냉각시켰다.

2. 1. 2. 부분적으로 녹은 용액의 냉각

2.1.1. 항에서 기술한 것과 같은 방법으로 만든 6 Bi₂O₃ · GeO₂ 조성의 batch 약 150 g을 백금도가니에 넣고 백금 뚜껑을 한 후, 온도구배가 거의 없는 Muffle 전기로 중에서 830°C의 온도로 2시간 소결시켰다. 이러한 소결은 부분적으로 녹인 용액을 냉각시키는 실험에서 녹지 않고, 도가니 바닥에 남아 있는 분말이 종자결정으로 이용될 수 있는 γ -6 Bi₂O₃ · GeO₂ 결정상을 만들기 위한 것이다. 소결 결과 생성된 결정상이 γ -6 Bi₂O₃ · GeO₂ 결정임은 분밀 X-선 회절분석에 의하여 확인되었다. 이 소결체를 평균입경이 74 μm 이하인 입도로 분쇄한 뒤 백금도가니에 넣고, 상하방향에 온도 구배가 있는 전기로 중에서 도가니 밑부분을 수냉시키면서, 윗부분의 온도를 1300°C로 가열하였다. 그 결과 도가니 밑면으로부터 0.2~0.5 cm 사이에는 소결체 분밀이 남아 있었고, 그 윗부분은 모두 용융되었다. 이렇게 부분적으로 녹은 용액을 2.1.1. 항과 같은 여러가지 냉각 속도로 실온까지 냉각시켰다.

2. 2. 분밀 X-선 회절분석

2. 1. 항에서 기술한 여러가지 조건 하에서 생성된 고화물의 결정상을 확인하기 위하여 생성된 고화물을 평균입경이 74 μm 이하인 입도로 분쇄한 후 분밀 X-선 회절분석을 하였다. 분밀 X-선 회절분석 결과 나타난 Peak를 JCPDS 카드와 비교하여 생성된 고화물의 결정상을 확인하였다.

2. 3. 생성된 고화물의 미세 구조 관찰

생성된 고화물의 미세 구조를 관찰하기 위하여 고화물의 그 표면에 평행 또는 수직하게 잘라내어, 두께 0.1 mm의 박편시료(thin plate)를 만들었다. 이 시료를 광학 연마한 후 광학 현미경의 투과광을 사용하여 관찰하였다.

2. 4. DTA 측정

2. 1. 2. 항에 기술한 방법에 의하여 작성된 고화물의 분밀을 백금제 sample holder에 넣고, DTA 장치(Shimadzu Ltd. Model DT-30)에서 표준물질로 α -Al₂O₃ 분밀을 사용하여, 10°C/min의 습온 속도로 실온에서

1000°C까지 가열한 뒤 1000°C에서 680°C까지 같은 속도로 냉각시킨 다음, 다시 1000°C로 재가열하였다.

2. 5 IR 측정

고화물 분말에 KBr 분말을 첨가하여 고르게 잘 혼합하였다. 이 혼합물을 압축기를 이용하여 pellet를 만들고, 1200~200 cm⁻¹ 범위에서 IR 흡수스펙트럼 측정을 하였다. 위와 같은 방법으로 α -Bi₂O₃ 결정에 대해서도 IR 흡수스펙트럼 측정을 하였다.

3. 실험 결과

3. 1. 생성된 결정의 확인(Identification)

균일하게 녹은 6 Bi₂O₃ · GeO₂ 조성의 용액을 기계적 충격 또는 불순물의 첨가없이 그대로 냉각시켰을 때, 융점인 930°C에서 고화(solidification)가 일어나지 않고 계속 냉각되다가 780°C 부근에서 백금도가니의 바깥쪽으로부터 내부로 고화(solidification)가 진행되어, 약 730°C에서 고화(solidification)가 완결되었다. 이러한 현상은 냉각 속도를 여려가지로 변화시켜도 마찬가지로 관찰되었다. 냉각 속도가 10°C/min 이하의 느린 경우에는 고화물의 중앙에 노란색을 띠는 다른 결정상이 미량 관찰되었고, 10°C/min 보다 빠른 냉각 속도의 경우에는 고화물에 다른 결정상이 관찰되지 않았다. 고화물의 결정상을 확인하기 위한 분말 X-선 회절분석 결과를 Fig. 1과 Fig. 2에 나타내었다.

Fig. 1은 냉각 속도가 10°C/min 이하의 느린 경우에 나타난 결정상으로 준안정상인 δ -6 Bi₂O₃ · GeO₂ 결정이 생성되었고, α -Bi₂O₃ 결정이 소량 섞여 있음이 확인되었다. α -Bi₂O₃ 결정은 준안정한 δ -6 Bi₂O₃ · GeO₂ 결정의 극히 일부가 느린 냉각 속도에서 분해하여 생성된 것으로 추정된다. Fig. 2는 냉각 속도가 10°C/min 보다 빠른 경우에 생성된 결정상을 나타내며, 이 경우에는 준안정상인 δ -6 Bi₂O₃ · GeO₂ 결정만이 생성되었음을 알 수 있었다.

용액을 전기로 밖으로 끌어내 냉각시키면서, 유리봉으로 과냉각된 용액이 들어있는 백금도가니의 측면을 가볍게 두드렸을 때는 백금도가니의 중앙 부분에서 도가니 가장자리 부분을 향하여 방사형으로 고화(solidification)가 일어났다. 또한, 냉각 과정 중 불순물을 첨가했을 경우에도 위와 같은 고화 현상을 관찰할 수 있었다. 이때, 생성된 고화물에 대한 분말 X-선 회절분석 결과를 Fig. 3에 나타내었다. Fig. 3으로부터 생성된 결정상은 안정상인

γ -6 Bi₂O₃ · GeO₂ 결정임을 알 수 있었다.

부분적으로 녹은 용액을 냉각시켜 얻은 고화물의 분말 X-선 회절분석 결과는 냉각 속도에 관계없이, Fig. 3과 같은 pattern을 나타내며, 생성된 결정상이 안정상인

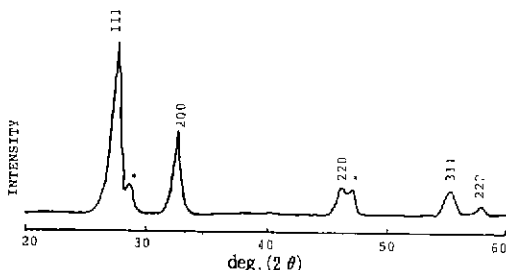


Fig. 1. Powder X-ray diffraction pattern of the ingot solidified at slow cooling rate less than 10°C/min. Miller indeces show the planes of δ -6 Bi₂O₃ · GeO₂ crystal.

* : α -Bi₂O₃

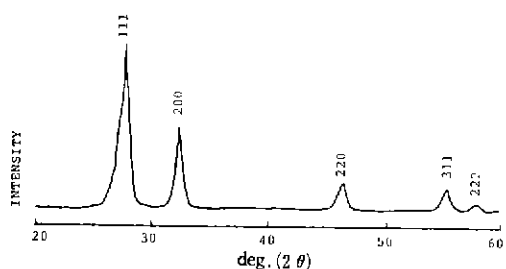


Fig. 2. Powder X-ray diffraction pattern of the ingot solidified at faster cooling rate than 10°C/min. Miller indeces show the planes of δ -6 Bi₂O₃ · GeO₂ crystal.

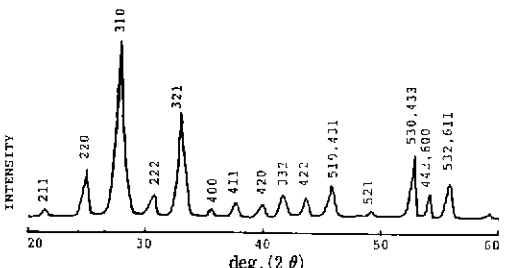


Fig. 3. Powder X-ray diffraction pattern of the ingot obtained by tapping or addition of impurity in the solidification process. Miller indeces show the planes of γ -6 Bi₂O₃ · GeO₂ crystal.

Table 1. Crystal Phase.

	Experiment condition	Crystal identification
Completely molten melt	1	$\delta\text{-}6 \text{Bi}_2\text{O}_3 \cdot \text{GeO}_2 + \alpha\text{-}\text{Bi}_2\text{O}_3$
	2	$\delta\text{-}6 \text{Bi}_2\text{O}_3 \cdot \text{GeO}_2 + \alpha\text{-}\text{Bi}_2\text{O}_3$
	Cooling rate (°C/min)	$\delta\text{-}6 \text{Bi}_2\text{O}_3 \cdot \text{GeO}_2 + \alpha\text{-}\text{Bi}_2\text{O}_3$
	10	$\delta\text{-}6 \text{Bi}_2\text{O}_3 \cdot \text{GeO}_2 + \alpha\text{-}\text{Bi}_2\text{O}_3$
	60	$\delta\text{-}6 \text{Bi}_2\text{O}_3 \cdot \text{GeO}_2$
	120	$\delta\text{-}6 \text{Bi}_2\text{O}_3 \cdot \text{GeO}_2$
	150	$\delta\text{-}6 \text{Bi}_2\text{O}_3 \cdot \text{GeO}_2$
	Tapping Impurity addition	$\gamma\text{-}6 \text{Bi}_2\text{O}_3 \cdot \text{GeO}_2$
		$\gamma\text{-}6 \text{Bi}_2\text{O}_3 \cdot \text{GeO}_2$
Partially molten melt	1	$\gamma\text{-}6 \text{Bi}_2\text{O}_3 \cdot \text{GeO}_2$
	2	$\gamma\text{-}6 \text{Bi}_2\text{O}_3 \cdot \text{GeO}_2$
	Cooling rate (°C/min)	$\gamma\text{-}6 \text{Bi}_2\text{O}_3 \cdot \text{GeO}_2$
	10	$\gamma\text{-}6 \text{Bi}_2\text{O}_3 \cdot \text{GeO}_2$
	60	$\gamma\text{-}6 \text{Bi}_2\text{O}_3 \cdot \text{GeO}_2$
	120	$\gamma\text{-}6 \text{Bi}_2\text{O}_3 \cdot \text{GeO}_2$
	150	$\gamma\text{-}6 \text{Bi}_2\text{O}_3 \cdot \text{GeO}_2$

$\gamma\text{-}6 \text{Bi}_2\text{O}_3 \cdot \text{GeO}_2$ 결정임이 확인되었다.

이상의 결과를 종합하여 Table 1에 나타내었다.

3. 2. 생성된 결정의 미세 구조

2.1.1. 항에 기술한 실험 방법에 의하여 냉각 속도가 2°C/min 일때, 생성된 고화물의 미세 구조를 Fig.4에 나타내었다. Fig.4(a)는 생성된 고화물의 표면 아래 5 mm에서 고화물을 평행하게 자른 단면이고, Fig.4(b)는 수직으로 자른 단면의 미세 구조를 나타내었다. Fig.4로부터 수평 단면과 수직 단면의 미세 구조는 차이가 거의 없고, 미세한 크기의 많은 $\delta\text{-}6 \text{Bi}_2\text{O}_3 \cdot \text{GeO}_2$ 결정들이 고르게 분포되어 있는 것을 알 수 있다.

Fig.5는 2.1.2. 항에 기술한 실험 방법에 의해 냉각 속

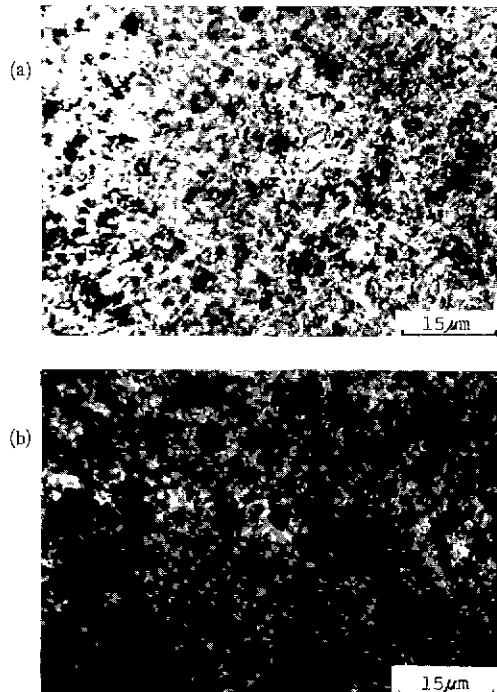


Fig.4. Microstructures of $\delta\text{-}6 \text{Bi}_2\text{O}_3 \cdot \text{GeO}_2$ crystal.
 (a) transverse section
 (b) longitudinal section

도가 1°C/min 일때, 생성된 고화물의 미세구조이다. Fig.5(a)는 생성된 고화물 표면 아래 5 mm에서 평행하게 자른 단면의 미세 구조로써 입계(grain boundary)로 추측되는 선들이 선명하게 관찰되었고, 입자의 크기는 직경이 대략 0.5~0.6 mm 이었다. Fig.5(b)는 생성된 고화물을 수직하게 자른 단면의 미세구조로 결정들이 도가니 밑에

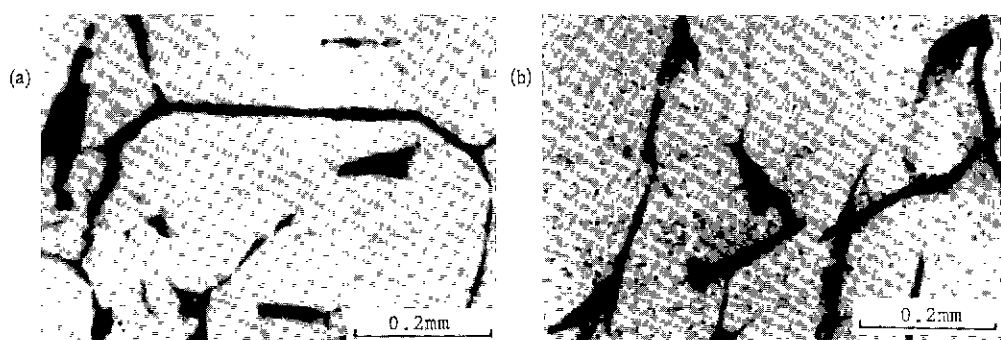


Fig.5. Microstructures of $\gamma\text{-}6 \text{Bi}_2\text{O}_3 \cdot \text{GeO}_2$ crystal.
 (a) transverse section (b) longitudinal section

서 위를 향하여 주상(columnar)으로 성장하였음을 나타내고 있다. 또한, 생성된 고화물을 확인한 결과, 도가니 밑면 위 0.2~0.5 cm 사이에 남아있던 γ -6 Bi₂O₃ · GeO₂ 분말들은 seed 결정으로 작용하고, 새로이 생성된 γ -6 Bi₂O₃ · GeO₂ 결정은 이 seed 결정으로부터 성장하였음을 알 수 있었다.

3. 3. DTA 측정 결과

Fig. 6(a)의 가열 곡선에서 930°C 부근에 γ -6 Bi₂O₃ · GeO₂ 결정의 용융에 기인하는 큰 흡열파크(endothermic peak)가 관찰되었다. Fig. 6(b)의 냉각 곡선에서는 930°C 부근에서 발열파크(exothermic peak)가 관찰되지 않고 용액이 계속 과냉각되어 약 780°C 부근에서 δ -6 Bi₂O₃ · GeO₂ 결정의 생성에 의한 작은 발열파크(exothermic peak)를 나타내었다. 또한 Fig. 6(c)의 재가열 곡선에서

δ -6 Bi₂O₃ · GeO₂ 결정의 용융에 기인하는 흡열파크(endothermic peak)가 780°C 부근에 나타났다.

3. 4. IR 측정 결과

Fig. 7은 δ -와 γ -6 Bi₂O₃ · GeO₂ 결정의 구조적 차이점을 알기 위하여 IR 흡수 스펙트럼을 측정한 결과를 나타낸 것이다. 참고로 α -Bi₂O₃ 결정의 흡수 스펙트럼도 함께 나타내었다. δ -와 γ -6 Bi₂O₃ · GeO₂ 결정의 흡수 스펙트럼에서 800 cm⁻¹와 600 cm⁻¹ 근처에 나타나는 흡수띠는 각각 Ge-O의 stretching vibration과 bending vibration에 의한 것이며, 600~380 cm⁻¹ 사이에 나타나는 흡수띠는 Bi-O의 bond vibration에 의한 것이다. 일반적으로 α -6 Bi₂O₃ · GeO₂ 결정의 모든 흡수띠는 γ -6 Bi₂O₃ · GeO₂ 결정의 모든 흡수띠보다 더 넓다.

4. 고찰

4. 1. 고화물의 생성과 핵 형성 사이의 관계

핵 형성 이론^{17~19)}을 바탕으로 본 연구에서 연구된 고화물의 생성을 다음과 같이 설명할 수 있다. 용액의 냉각 과정 중 외부 충격이나, 불순물의 첨가없이 냉각된 고화물의 미세 구조는 Fig. 4에서 관찰된 것과 같이 미세한 크기의 δ -6 Bi₂O₃ · GeO₂ 결정이 고르게 분포되어 있었다. 이것은 과냉각된 6 Bi₂O₃ · GeO₂ 조성 용액의 모든 점에서 균일하게 핵 형성이 이루어졌고, 느린 성장속도로 결정이 성장하였음을 나타내 주는 것이다. 그러나, 부분적으로 녹은 용액의 경우에 있어서 Fig. 5에서 보는 바와 같이, 결정이 도가니의 밑면에서 위로 주상으로 성장하였다. 이것은 녹지 않고 부분적으로 남아있는 γ -6 Bi₂O₃ · GeO₂ 결정에 의한 불균일 핵 형성이 일어나서 결정위에 새로운 핵이 다수 형성되고, 이를 핵이 크게 성장하였음을 나타낸다. 또한, 불순물을 첨가하는 경우에도 마찬가지로 불순물이 γ -6 Bi₂O₃ · GeO₂ 결정의 핵 형성을 촉진하는 불균일 핵 형성이 일어났다고 추정된다.

4. 2. 안정상과 준안정상의 생성 조건

본 연구에서 6 Bi₂O₃ · GeO₂ 조성의 용액을 여러 가지 냉각 조건에 의해 냉각시키면 δ - 또는 γ -6 Bi₂O₃ · GeO₂ 결정이 생성됨을 알았다. 이러한 현상을 온도에 대한 δ -, γ -6 Bi₂O₃ · GeO₂ 결정과 용액의 자유에너지 변화 및 δ -, γ -6 Bi₂O₃ · GeO₂ 결정의 핵 형성에 대한 에너지 장벽을 고려하여 다음과 같이 설명할 수 있다.

Fig. 8은 본 연구에서 얻어진 결과를 바탕으로 하여 온

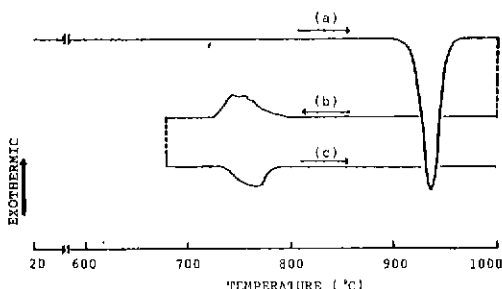


Fig. 6. DTA curves of γ -6 Bi₂O₃ · GeO₂ crystal on heating and cooling at a rate of 10°C/min.

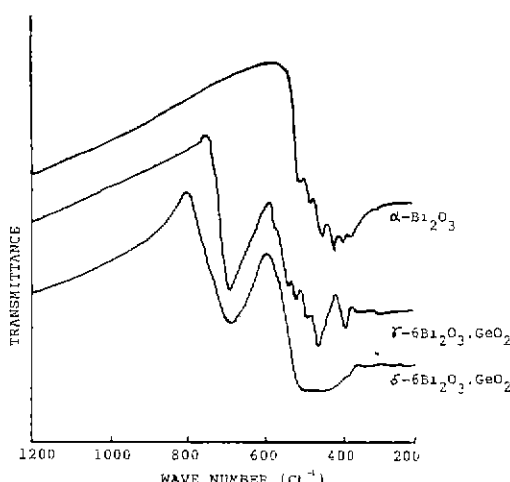


Fig. 7. Infrared spectra of δ -, γ -6 Bi₂O₃ · GeO₂ and α -Bi₂O₃ crystals.

도와 자유 에너지의 관계를 추정하여 나타낸 것이다. 용액의 온도에 대한 자유 에너지 곡선과 δ - 및 γ - $\text{Bi}_2\text{O}_3 \cdot \text{GeO}_2$ 결정의 온도에 대한 자유 에너지 곡선이 교차하는 두 온도 780°C와 930°C는 각각 δ -와 γ - $\text{Bi}_2\text{O}_3 \cdot \text{GeO}_2$ 결정의 융점과 일치한다. 결정구조로 부터 δ - $\text{Bi}_2\text{O}_3 \cdot \text{GeO}_2$ 결정이 γ - $\text{Bi}_2\text{O}_3 \cdot \text{GeO}_2$ 결정보다 개방적이고, 결합이 많은 구조라는 것이 알려져 있다¹¹⁾. 일반적으로 개방적인 구조를 가지는 결정의 Gibbs 자유에너지는 조밀한 구조를 가지는 결정의 Gibbs 자유에너џ보다 더 크다. 그리고 온도가 증가함에 따라 개방적인 구조를 가지는 결정의 Gibbs 자유에너지는 조밀한 구조를 가지는 결정의 Gibbs 자유에너지를 더 빨리 잡소한다²⁰⁾.

Fig. 8로 부터 용액이 융점 Tm^γ 이하로 냉각되었을 때, 안정상인 γ - $\text{Bi}_2\text{O}_3 \cdot \text{GeO}_2$ 결정이 생성될 것으로 예상된다. 그러나 γ - $\text{Bi}_2\text{O}_3 \cdot \text{GeO}_2$ 결정의 핵 형성에 대한 에너지 장벽이 높다면 용액은 냉각을 계속하여 과냉각 상태가 되고, 융점보다 낮은 온도, Tm^δ 에서 준안정상인 δ - $\text{Bi}_2\text{O}_3 \cdot \text{GeO}_2$ 결정이 생성될 것이다. 실제로 본 연구에서 완전히 균일한 용액이 어떠한 기계적 충격이나 불순물의 첨가없이 냉각되었을 때, 냉각 속도에 관계없이 준안정상인 δ - $\text{Bi}_2\text{O}_3 \cdot \text{GeO}_2$ 결정이 생성되었다. 또한, 용액이 과냉각된다면 Fig. 6(b)의 냉각 곡선에서 930°C 부근에서 발열피크(exothermic peak)가 나타나지 않고, 과냉각된 780°C에서 발열피크(exothermic peak)가 관찰되는 것으로 확인되었다.

냉각 과정 중 도가니벽을 유리봉으로 두드려서 기계적

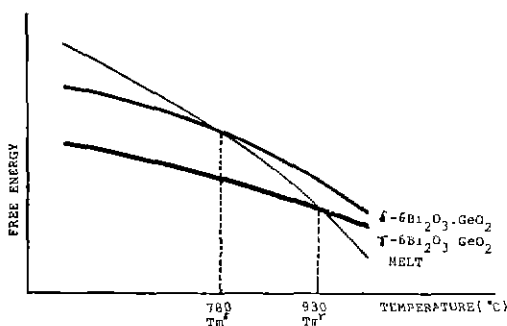


Fig. 8. Relationships among free energies of melt, δ - and γ - $\text{Bi}_2\text{O}_3 \cdot \text{GeO}_2$ crystal.

Tm^δ : melting temperature of δ - $\text{Bi}_2\text{O}_3 \cdot \text{GeO}_2$ crystal,

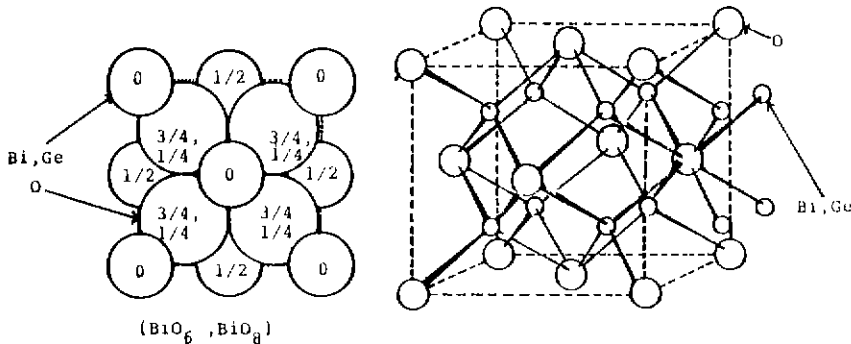
Tm^γ : melting temperature of γ - $\text{Bi}_2\text{O}_3 \cdot \text{GeO}_2$ crystal.

인 충격을 주면, 생성되는 결정상은 안정상인 γ - $\text{Bi}_2\text{O}_3 \cdot \text{GeO}_2$ 결정이 있다. 이것은 기계적인 충격에 의해 γ - $\text{Bi}_2\text{O}_3 \cdot \text{GeO}_2$ 결정의 핵 형성에 대한 에너지 장벽이 낮아졌음을 나타내는 것이다. 이러한 현상을 설명하기 위한 이론중의 하나가 Cavitation mechanism theory²¹⁾이다. 용액에 고의적으로 진동을 주면, 용액내에 동공(cavities)이 형성되고, 이 동공이 봉괴될 때 매우 높은 압력 전동이 일어나 융점이 높아지게 되며, 그 결과 새로운 결정의 핵 형성에 대한 열역학적 에너지 장벽이 낮아지게 된다. 기계적 충격에 의한 γ - $\text{Bi}_2\text{O}_3 \cdot \text{GeO}_2$ 결정의 형성은 이 Cavitation mechanism에 의해 일어나는 것으로 추정된다. 도가니벽을 통하여 용액에 전달된 기계적 충격은 용액내에 동공(cavities)을 형성하는 원인이 되고, 이것은 γ - $\text{Bi}_2\text{O}_3 \cdot \text{GeO}_2$ 결정의 핵 형성에 대한 에너지 장벽을 낮춘다. 여기서 과냉각된 용액에 형성된 동공은 준안정한 δ - $\text{Bi}_2\text{O}_3 \cdot \text{GeO}_2$ 결정의 핵 형성에 대한 에너지 장벽도 낮게 할 수 있다. 그러나, 기계적 충격에 의해 γ - $\text{Bi}_2\text{O}_3 \cdot \text{GeO}_2$ 결정핵과 함께 δ - $\text{Bi}_2\text{O}_3 \cdot \text{GeO}_2$ 결정핵이 형성되더라도 δ - $\text{Bi}_2\text{O}_3 \cdot \text{GeO}_2$ 결정의 성장 속도가 γ - $\text{Bi}_2\text{O}_3 \cdot \text{GeO}_2$ 결정보다 매우 느리기 때문에 최종적으로 안정한 γ - $\text{Bi}_2\text{O}_3 \cdot \text{GeO}_2$ 결정이 얻어진다.

4. 3. δ - $\text{Bi}_2\text{O}_3 \cdot \text{GeO}_2$ 와 γ - $\text{Bi}_2\text{O}_3 \cdot \text{GeO}_2$ 의 결정 구조

일반적으로 안정상의 형성에 대한 에너지 장벽이 준안정상의 형성에 대한 에너지 장벽보다 높을 때, 준안정한 상이 형성되고, 이러한 현상은 결정의 구조가 모용액(mother melt)의 구조와 비슷할 때 잘 일어난다²²⁾.

Fig. 9는 δ - $\text{Bi}_2\text{O}_3 \cdot \text{GeO}_2$ 결정의 결정 구조를 나타낸 것으로 이 결정은 형석 결함구조(fluorite defect structure)를 가진다¹⁶⁾. 이 구조안에서 bismuth 원자는 대칭적인 단위 입방 정체의 구석(corner)에 위치한 8개 또는, 8개보다 적은 산소 원자(oxygen atom)에 둘러싸여 있고, 구조내에 Oxygen vacancise가 무작위로 분포되어 있다. Oxygen vacancies를 가지는 결함 구조라는 것은 Fig. 7에서 나타낸 바와 같이 δ - $\text{Bi}_2\text{O}_3 \cdot \text{GeO}_2$ 결정의 IR 흡수 스펙트럼 측정 결과에 의해서 확인되었다. 즉, Oxygen vacancies의 존재에 의해서 발생되는 bismuth 원자와 산소 원자 사이의 결합각의 변화는 δ - $\text{Bi}_2\text{O}_3 \cdot \text{GeO}_2$ 결정의 넓은 흡수띠에 의해 잘 나타나 있다. γ - $\text{Bi}_2\text{O}_3 \cdot \text{GeO}_2$ 결정은 Fig. 10에서 보는 바와 같이 각각의 bismuth 원자가 비대칭적으로 7개의 산소에 의해 둘러싸

Fig. 9. Crystal structure of δ -6 Bi₂O₃ · GeO₂ crystal.

여 있다. 5개의 산소들은 완전히 Octahedral을 형성하고, 나머지 두개의 산소들은 좀 더 약하게 결합되어 있다¹¹. 이 결정 구조로부터 γ -6 Bi₂O₃ · GeO₂ 결정은 δ -6 Bi₂O₃ · GeO₂ 결정보다 조밀하고 결합이 적으며 비대칭이라는 것을 알 수 있다. 따라서, 이러한 구조의 결정이 용액으로부터 생성되려면 해 형성 에너지 장벽이 매우 높 것으로 예상된다. 이에 비하여 δ -6 Bi₂O₃ · GeO₂ 결정은 보다 개방적이고, 결합이 많은 구조이므로 γ -6 Bi₂O₃ · GeO₂ 결정 보다 비교적 쉽게 용액으로부터 생성될 것으로 생각된다.

5. 결 론

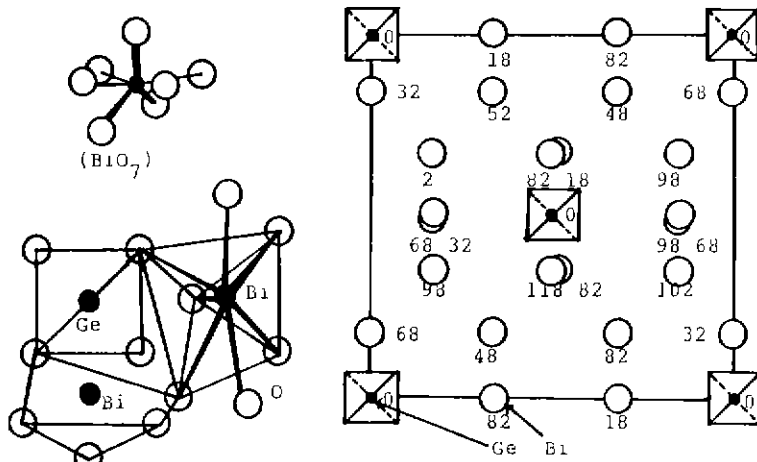
900°C의 용점을 가지며, 합치용융조성인 6 Bi₂O₃ · GeO₂ 조성의 용액을 여러가지 다른 냉각 조건으로 냉각하

여 결정화시켰다. 그 결과 생성된 결정에 대하여 그 결정상을 확인하고, 결정 구조를 조사하여 각 결정상의 생성 조건을 규명하였다.

연구 결과 다음과 같은 결론을 얻었다.

1) 완전히 녹은 이 조성의 용액을 1~150°C/min의 냉각 속도로 기계적 충격이나, 불순물의 첨가없이 그대로 냉각시켰을 때 얻어지는 결정상은, 냉각 속도에 관계없이 준안정상인 δ -6 Bi₂O₃ · GeO₂ 결정이 얻어졌다. 또한 10°C/min 보다 느린 냉각 속도에서 준안정상인 δ -6 Bi₂O₃ · GeO₂ 결정이 분해하여 α -Bi₂O₃ 결정이 생성되었다.

2) 완전히 녹은 이 조성의 용액을 냉각하는 과정에서 용액의 온도가 약 900°C가 되었을 때, 용액에 기계적 충격이나 불순물을 첨가하면 안정상인 γ -6 Bi₂O₃ · GeO₂ 결정이 얻어졌다.

Fig. 10. Crystal structure of γ -6 Bi₂O₃ · GeO₂ crystal.

3) 용액중에 안정상인 γ - $6\text{Bi}_2\text{O}_3 \cdot \text{GeO}_2$ 결정이 존재할 경우, 이 결정이 종자 결정으로 작용하여 냉각 조건에 관계없이 γ - $6\text{Bi}_2\text{O}_3 \cdot \text{GeO}_2$ 결정이 일어졌다.

4) 완전히 균일하게 녹은 용액에서 준안정상인 δ - $6\text{Bi}_2\text{O}_3 \cdot \text{GeO}_2$ 결정이 생성되는 것은 안정상인 γ - $6\text{Bi}_2\text{O}_3 \cdot \text{GeO}_2$ 결정의 핵 형성 에너지 장벽이 δ - $6\text{Bi}_2\text{O}_3 \cdot \text{GeO}_2$ 결정의 핵 형성 에너지 장벽보다 높기 때문이며, 용액 중에 불순물 또는 γ - $6\text{Bi}_2\text{O}_3 \cdot \text{GeO}_2$ 결정이 존재할 경우, γ - $6\text{Bi}_2\text{O}_3 \cdot \text{GeO}_2$ 결정이 생성되는 것은 불순물 또는, γ - $6\text{Bi}_2\text{O}_3 \cdot \text{GeO}_2$ 결정이 종자 결정으로 작용하여 γ - $6\text{Bi}_2\text{O}_3 \cdot \text{GeO}_2$ 결정의 핵 형성 에너지 장벽이 낮아졌기 때문으로 추정되었다.

「감사의 글」

본 연구는 1987년도 과학 재단 목적기초연구의 일환으로 수행되었으며 이에 감사드립니다.

REFERENCES

1. S.C. Abrahams, P.B. Jamieson and J.L. Bernstein, "Crystal Structure of Piezoelectric Bismuth Germanium Oxide $\text{Bi}_{12}\text{GeO}_{20}$ ", *J. Chem. Phys.*, **47**, 4034 (1967).
2. E.R. Aldrich, H.L. Hou and M.L. Harvil, "Electrical and Optical Properties of $\text{Bi}_{12}\text{SiO}_{20}$ ", *J. Appl. Phys.*, **42**, 493 (1971).
3. P.V. Lenzo, E.G. Spencer and A.A. Ballman, *Appl. Opt.*, **5**, 1688 (1966).
4. A. Morell and A. Hermosin, "Sintering of an X-Ray Photosensitive Ceramic : $\text{Bi}_{12}\text{GeO}_{20}$ ", *Ceram. Bull.*, **58**, 623 (1979).
5. A. Feldman, W.S. Brower and Jr., Deane Horwitz, *Appl. Phys. Letters*, **16**, 201 (1970).
6. S. Iguchi, H. Goto, M. Kato, S. Takeuchi, Y. Kuhara and K. Tada, Sixth European Conference on Optical Communication, Conference Publication Number 190.
7. S.L. Hou and S. Oliver, *Appl. Phys. Letters*, **18**, 325 (1971).
8. A.A. Ballman, "The Growth and Properties of Piezoelectric Bismuth Germanium Oxide $\text{Bi}_{12}\text{GeO}_{20}$ ", *J. Crystal Growth*, **1**, 37 (1967).
9. Pratt, R.G., Simpson, G. and Crorsley W.A., "Acoustic Surface Wave Properties of $\text{Bi}_{12}\text{GeO}_{20}$ ", *Electron Lett.*, **8**, 271 (1970).
10. A.A. Ballman, H. Brown, P.K. Tien and R.J. Martin, "The Growth of Single Crystalline Waveguiding Thin Films of Piezoelectric Silenites", *J. Crystal Growth*, **20**, 251 (1973).
11. J.C. Brice, T.M. Bruton, O.F. Hill and P.A. C. Whiffin, "The Czochralski Growth of $\text{Bi}_{12}\text{SiO}_{20}$ Crystals", *J. Crystal Growth*, **24/25**, 429 (1974).
12. W. Piekarczyk, M. Swirkowicz and S. Gazda, "The Czochralski Growth of Bismuth-Germanium Oxide Single Crystals", *Mat. Res. Bull.*, **13**, 889 (1974).
13. K. Miyamoto, H. Miyamoto and S. Komoda, "Growth of Thin Plates of $\text{Bi}_{12}\text{SiO}_{20}$ Single Crystals", *Mat. Res. Bull.*, **15**, 729 (1980).
14. E.M. Levin and R.S. Roth, *J. Research Natl. Bur. Standards*, **68 A** (2) 201 (1964).
15. S. Ito, T. Kokubo and M. Tashiro, *Bull. Inst. Chem. Res. Kyoto Univ.*, **55**, 447 (1977).
16. G. Gattow and H. Schroder, *Z. Anorg. Allg. Chem.*, **318**, 197 (1962).
17. W.D. Kingery et al., "Introduction to Ceramics", 2nd ed, John Wiley and sons, New York, p. 328 (1976).
18. Atsumi Ohno, "The Solidification of Metals", 1st ed Chijin Shokan Co. LTD. p. 11.
19. M.C. Flemings, "Solidification Processing", 1st ed. McGraw-Hill, p. 290 (1974).
20. V. Raghavan and M. Cohen in : "Treaties on Solide State Chemistry", Vol. 5, N.B. Hannay, Ed., Plenum. Press, New York, p. 71 (1975).
21. J.D. Hunt and K.A. Jackson, *J. Appl. Phys.*, **37**, 254, (1966).
22. W.D. Kingery et al., "Introduction to Ceramics", 2nd ed, John Wiley and Sons, New York, p. 314 (1976).